

افزایش دقت رویکرد پردازش تصویر دو بعدی جهت تخمین منحنی های تنفس - کرنش در آزمایش های سه محوری

مهمنگی عمده شدن، (پاییز ۱۴۰۱)، دوری ۲ - ۳، شماره ۲ / ۳، ص. ۵۵-۶۷، (پژوهشی)

حسین جهان خواه* (دانشیار)

سپهر نظری (کارشناسی ارشد)

جواد جلیلی (استادیار)

پژوهشگاه بین المللی زلزله شناسی و مهندسی زلزله

در مطالعه‌ی حاضر، با پردازش تصاویر نمونه‌ی سه محوری در حین آزمایش، تغییرات قطر و حجم آن با دقت مناسب برآورد شده و جهت راستی آزمایش روش پیشنهادی، مقایسه‌ی میان نتایج آن با نتایج ثبت شده از طریق اندازه‌گیری های متناول آزمایشگاهی انجام پذیرفته است. مقایسه‌ی اخیر نشان داد که نتایج آزمایش های سه محوری تجھیم یافته‌ی زهکشی شده بر روی نمونه‌ی خاک اشباع در هر دو روش ذکر شده، تطابق قابل قبولی داشتند. دستاورد نخست پژوهش حاضر، دستیابی به دقت تخمین تغییرات حجم، در حد رویکردهای پردازش تصویر سه بعدی، علیرغم استفاده از پردازش تصویر دو بعدی است. به گونه‌یی که تا کرنش 10° درصد، میزان خطای رویکرد پردازش تصویر در محاسبه‌ی تغییرات حجم نمونه، نسبت به رویکرد متناول در محدوده $100^{\circ} \times 100^{\circ}$ بوده است. برای کرنش های بالاتر تا 20° درصد، در پیشتر آزمایش ها، خطای رویکرد پردازش تصویر نسبت به رویکرد متناول تا محدوده $5^{\circ} \times 5^{\circ}$ نیز رسیده است. دستاورد دوم، حذف فرایند واسنجی پیچیده از مراحل پرداشت بوده است که روش مذکور را کاربردی می سازد. در نهایت، دستاورد سوم، امکان بررسی رفتارهای درون المانی با دقت مناسب بوده است.

h.jahankhah@iiees.ac.ir
sepehr.nazari@stu.iiees.ac.ir
jalili@iiees.ac.ir

وازگان کلیدی: پردازش تصویر آزمایش سه محوری، تغییرات حجم نمونه، منحنی تنفس - کرنش، تغییرات قطر نمونه.

۱. مقدمه

خاک غیراشباع، نیروی مذکور نادیده گرفته می‌شود و مشخصات به دست آمده از آزمایش اشباع شده با مقدار واقعی آن (خاک غیراشباع) متفاوت خواهد بود.^[۱-۲] به همین دلیل برای ارزیابی رفتار خاک غیراشباع و با اشباع، روش‌های اقتصادی تر از روش‌های اندازه‌گیری مکانیکی و بر مبنای پردازش تصویر ارائه شده است. مجموعه‌ی مطالعاتی که در زمینه‌ی آزمایش های سه محوری با استفاده از پردازش تصویر صورت گرفته است را می‌توان به سه بخش: پردازش تصویر با استفاده از اشعه ایکس، پردازش تصویر به صورت سه بعدی و پردازش تصویر به صورت دو بعدی تقسیم‌بندی کرد. در ادامه، ادبیات فنی مربوط به هر سه بخشی که پیشتر به آنها اشاره شده است؛ به صورت گذرا ارائه شده است. جهت رعایت اختصار، در هر بخش از میان مطالعات صورت گرفته توسط پژوهشگران، به ۵ نمونه‌ی پژوهش اشاره شده است. لنویر^۱ و همکاران^(۲)، با استفاده از رویکرد اشعه‌ی ایکس توانستند نحوه‌ی تشکیل باند برشی یا خط گسیختگی را در طول بارگذاری نمونه اندازه‌گیری کنند.^[۳] اوتانی^۲ و همکاران^(۵) و هیگو^۳ و همکاران^(۶) نیز با استفاده از رویکرد اشعه‌ی ایکس، نحوه‌ی تشکیل خط گسیختگی در طول نمونه، تغییرات

در طبیعت، خاک‌هایی که در معرض ساخت و سازهای عمرانی واقع می‌شوند و خصوصیات مهندسی آنها باید شناسایی شود، لزوماً در شرایط اشباع قرار ندارند. با توجه به تأثیر رطوبت اولیه‌ی نمونه‌ی خاک در رفتار آن، لازم است که در آزمایشگاه نیز همان شرایط طبیعی خاک شیوه‌سازی شود. یکی از چالش‌های عمدۀ غیراشباع بودن نمونه‌ی خاک در آزمایشگاه، بالا بودن هزینه‌ی تجهیزات اندازه‌گیری تغییرات قطر نمونه در طول بارگذاری است. میزان تغییر حجم ناشی از بارگذاری در خاک‌های غیراشباع به دلیل وجود هوا برابر با میزان آب خروجی نخواهد بود و تجهیزات متناول از برآورد آن عاجزند.^[۴] نیاز به دانش تخصصی پیشرفته جهت تفسیر رفتار خاک‌های غیراشباع نیز از دیگر عوامل چشم‌پوشی از انجام آزمایش‌های غیراشباع و اقبال آزمایشگاه‌ها به اشباع ساختن نمونه‌ها در هر حال است. این در حالی است که وجود هوا در خاک غیراشباع باعث به وجود آمدن مکش بافتی می‌شود و با اشباع کردن

* نویسنده مسئول

تاریخ: دریافت ۲۸/۱/۱۴۰۱، اصلاحیه ۱۲/۴/۱، پذیرش ۱۴۰۱/۴/۲۹

DOI:10.24200/J30.2022.60142.3089

است که با حفظ دقت و حذف یا کاهش مشکلات پیش گفته، امکان پیاده سازی در صنعت را داشته باشد. برای این منظور در نظر است ضمن حفظ سادگی استفاده از رویکرد پردازش تصویر دو بعدی، دقت آن در برآورد تغییرات حجم نمونه در حد رویکردهای سه بعدی افزایش یابد.

در پژوهش حاضر، با استفاده از یک دوربین از نمونه های متفاوت خاک در دستگاه آزمایش سه محوری در حین بارگذاری، تصویر برداری انجام شده و نمونه ای خاک اشباع به صورت زهکشی شده در دستگاه سه محوری متداول (افق تجهیزات مکانیکی اندازه گیری خصوصیات خاک غیر اشباع) آزمایش تحکیم یافته زهکشی شده قرار گرفته اند. با انجام آزمایش زهکشی شده بر روی نمونه ای اشباع، امکان اندازه گیری تغییر حجم نمونه از طریق ادوات مکانیکی دستگاه نیز امکان پذیر است. در هر ۶ نمونه، که پیشتر به آن اشاره شده است، ۳ نمونه با چگالی نسبی بالا و ۳ نمونه با چگالی نسبی متوسط در نظر گرفته شده اند. هر نمونه به صورت جداگانه بارگذاری و اطلاعات مربوط به تغییرات حجم و قطر آن، هم از طریق تجهیزات مکانیکی دستگاه و هم با پردازش تصویر به روش ارائه شده در مطالعه ای حاضر، استخراج و مقایسه شده است. همچنین از اطلاعات به دست آمده، منحنی تنش کل - کرنش با دقت مناسب به دست آمده است. هر چند نوشتار حاضر به بیان نتایج آزمون های صورت گرفته بر نمونه های اشباع جهت نشان دادن کارایی روش پیشنهادی بسته کرده است، لیکن روش مذکور بر روی نمونه های غیر اشباع نیز قابل استفاده است. با توجه به پیش نیاز های محاسبات تنش کل در تعیین رفتار خاک های غیر اشباع، کاربرد از موارد، کما کان محاسبات تنش کل در تعیین رفتار خاک های غیر اشباع، کاربرد مهندسی فراوانی دارند. در حال حاضر با امکانات موجود بسیاری از آزمایشگاه های فنی و مهندسی، امکان اندازه گیری دقیق منحنی رفتاری تنش کل برای خاک غیر اشباع بکر وجود ندارد، که ناشی از صعوبت اندازه گیری تغییرات دقیق قطر این گونه نمونه هاست. یکی از کاربردهای اصلی چارچوب پیشنهادی نوشتار حاضر، رفع مشکل اخیر با فراهم ساختن امکان همسان سازی رفتار مدل های رایانه ای با رفتار نمونه های خاک است. با استفاده از منحنی های رفتاری تنش کل حاصل از روش پیشنهادی، پارامتر های تغییر شکلی و مقاومتی متناظر با وضعیت خاک با دقت مناسب واسنجی خواهد شد. با به کار گیری پارامتر های تنش کل مذکور، می توان در نرم افزار های محاسبات مهندسی همچون محاسبات تعادل حدی پایداری شب و یا محاسبات عددی، مدل های رفتاری متناظر با رفتار تنش کل را واسنجی کرد. در واقع روش پیشنهادی قادر خواهد بود تغییرات حجم و تغییرات منحنی تنش - کرنش نمونه هی هرگونه خاکی را تحت شرایط بکر و اولیه خودش و با روشی آسان، اقتصادی، و با دقت قابل قبول محاسبه کند. متناسب با هدف پژوهش حاضر، که در عنوان نیز به آن اشاره شده است، جهت افزایش سهولت و دقت برداشت نسبت به روش های متداول پردازش تصویر دو بعدی، گام هایی در پیش گرفته شده است که نوآوری های پژوهش حاضر را شکل می دهد.

نخست، استفاده از ارتفاع ثبت شده توسط الودی تی^{۱۶} دستگاه، در مراحل بارگذاری، به جای محاسبه ای آن از پردازش تصویر است. این امر موجب می شود خطاهای محاسباتی پردازش تصویر فقط به محاسبه ای قطر منحصر و ارتفاع با خطای کمتری برآورد شود. دوم آنکه، در محاسبه ای حجم اولیه، به جای محاسبه از پردازش تصویر، مقدار به دست آمده از اندازه گیری قبل از آزمایش مینا قرار گرفته است که این امر نقطه ای شروع نمودارها را بر هم منطبق می کند. سوم آنکه، در فرایند واسنجی از اندازه گیری های قبل از آزمایش که با روابط آین نامه ای ASTM-D7181 تصحیحات مربوط به فرایندهای اشباع و تحکیم روی آن ها انجام شده، استفاده شده است. رویکرد پیشنهادی، ضرایب واسنجی، که مربوط به تعیین مقیاس هر پیکسل

شکل موضعی و تغییرات حجم موضعی در طول بارگذاری را محاسبه کردند.^[۱۷] کرمی^۴ و همکارانش (۲۰۱۵)، نیز توانستند نحوه تشکیل باند برشی، نحوه متراکم شدن نمونه ماسه ای، اتساع و شکستگی دانه ها را در تنش های تحکیمی بالا توسط تصویر برداری با اشعه ایکس برسی کنند.^[۱۸] چنگ^۵ و همکارانش (۲۰۲۰)، با توسعه یک دستگاه سه محوری و روش های پیشرفتی اشعه ایکس، رفتار دینامیکی دانه های خاک را در مقایس میکرو برسی کردند.^[۱۹] ژنگ^۶ و همکاران (۲۰۱۵)، با استفاده از چندین دوربین در موقعیت ها و جهت گیری های متفاوت نسبت به نمونه و دستگاه سه محوری، با استفاده از یک صفحه کالیبراسیون مش بندی شده دقیق برای تبدیل واحد پیکسل به میلی متر، حجم کل و تغییرات حجم نمونه غیر اشباع در طول بارگذاری را به صورت سه بعدی اندازه گیری کردند.^[۲۰]

ریچماچر^۷ و وونگ^۸ و همکاران (۲۰۰۹)، در مطالعات مشابه با استفاده از دو دوربین، صفحات واسنجی شترنجی و استوانه ای، تغییرات حجم و تغییرات تنش نمونه در طول بارگذاری را به صورت سه بعدی اندازه گیری کردند.^[۱۱] لین^۹ و همکاران (۲۰۲۱)، تغییرات غیر یکنواخت نمونه را که یکی از چالش های اساسی پژوهشگران است، با استفاده از نقاط دایره ای شکل ماتریسی که بر روی غشاء قرار گرفته و یک نرم افزار مخصوص در پردازش تصاویر سه بعدی، اندازه گیری کردند.^[۱۲] فایک^{۱۰} و همکاران (۲۰۲۰)، با استفاده از عکس برداری در جهت های مختلف نمونه و صفحه ای مش بندی شده با نقاط مشکی رنگ به فاصله هی مشخص از هم، که بر روی غشاء نمونه قرار گرفته بود، حجم مطلق نمونه در طول بارگذاری را اندازه گیری کردند.^[۱۳]

میکری^{۱۱} و همکاران (۱۹۹۷)، با استفاده از یک دوربین در فاصله هی معین از نمونه و دستگاه سه محوری، تغییرات حجم نمونه را به صورت دو بعدی اندازه گیری کردند.^[۱۴] باقریه^{۱۲} و همکاران (۲۰۰۹)، با استفاده از روش لبه بیانی، با یک دوربین در فاصله هی معین از نمونه و دستگاه سه محوری و استفاده از ۴ استوانه به اندازه گیری مختلف در بخش واسنجی، تغییرات حجم نمونه تحت حالت اشباع را اندازه گیری کردند.^[۱۵] در جدید ترین مطالعات با رویکردهای دو بعدی، تغییر شکل های خاک های ماسه ای اشباع توسط کوزکی^{۱۳} (۲۰۱۸)، با روش پردازش تصویر مستقیم و غیر مستقیم اندازه گیری شده است.^[۱۶] ساچان^{۱۴} و همکاران (۲۰۰۷)، با استفاده از یک دوربین در فاصله هی معین از نمونه و صفحه ای مش بندی شده با نقاط دایره ای شکل، معادله هی خط باند بر شی نمونه که ناشی از تغییر شکل نمونه در طول بارگذاری فشاری است را با استفاده از روش پردازش تصویر به صورت دو بعدی اندازه گیری و مشخصاتی شامل: زاویه ای اصطکاک داخلی و چسبنده گی خاک موردنظر را استخراج کردند.^[۱۷] دانگ^{۱۵} و همکاران (۲۰۱۴)، با استفاده از یک دوربین و صفحه ای مش بندی شده با قطعات مربعی شکل، تغییرات تنش - کرنش نمونه در طول بارگذاری را اندازه گیری کردند.^[۱۸]

مطابق جمع بندی حاصل از مطالعات ارائه شده در بخش ادبیات فنی، هر چه فرایند استفاده شده در تصویر برداری، شامل: روش تصویر برداری، تعداد ادوات ثبت تصویر همزمان، نحوه نور پردازی و نحوه کالیبراسیون به سمت سادگی سوق داده شده است، از دقت نتایج حاصل کاسته شده است. به گونه بی که نتایج گزارش شده در رویکرد تصویر برداری دو بعدی با یک دوربین، کمترین دقت را در بی داشته است. همچنین در رویکردهای دو بعدی مطرح شده، فرایند واسنجی به گونه بی بوده است که امکان پیاده سازی آن در آزمایشگاه های موجود در صنعت ساختمان، به سختی امکان پذیر است. این امر امکان بهره مندی از مزایای رویکرد پردازش تصویر در فرایندهای متداول صنعتی را با دشواری مواجه ساخته و رویکرد مذکور عملأ در صنعت جایگاه خود را نیافته است. هدف اصلی پژوهش حاضر، ارائه راهکاری

شده است. ضرایب C_c و C_u برای ماسه‌ی S161 مطابق جدول ۱، به ترتیب برابر $88/0$ و $87/0$ بوده و چگالی ویژه دانه‌ها مقداری برابر با $64/2$ داشته است. منحنی دانه‌بندی ماسه‌ی فیروزکوه در شکل ۲ مشاهده می‌شود که مطابق آن، چون ضریب انحناء خاک مورد نظر کوچک‌تر از ۱ بوده است، دانه‌بندی به صورت یکنواخت و بد است.^[۲۰]

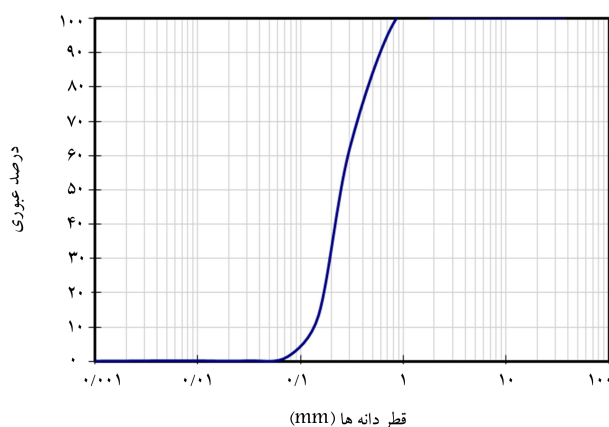
بر حسب میلی‌متر است، را با دقت مناسبی بدست می‌دهد، بدون اینکه نیازی به فرایند‌های پیچیده‌ی واسنجی باشد. در ادامه، به ترتیب به معرفی دستگاه سه‌محوری، مصالح آزمایش، دوربین، نورپردازی، فرایند آماده‌سازی نمونه و انجام آزمایش، نرم افزارهای استفاده شده در رویکرد پردازش تصویر پرداخته و در آخر، نتایج حاصل از روش پردازش تصویر پیشنهادی با نتایج حاصل از رویکرد متداول یا سنتی در برآورد منحنی‌های تنش - کرشن مقایسه شده است.

۳.۲. دوربین

دوربین استفاده شده در آزمایش کنونی از نوع کانن (D650) با وضوح ۲۰ مگاپیکسل و بزرگ‌نمایی ۳ بوده است. عکس‌برداری هر ۱۵ ثانیه یک بار با فاصله‌ی کانونی ۵۵ میلی‌متر و قاب عکس‌برداری ۵۱۸۴×۳۴۵۶ پیکسل صورت گرفته است. دوربین مذکور از طریق کابل‌های USB^{۱۷} به رایانه متصل و پس از قرارگیری دوربین بر روی سه پایه و ثابت کردن محل قرارگیری آن، دوربین نسبت به دستگاه سه‌محوری تراز شده است. برای عکس‌برداری خودکار از نمونه حین بارگذاری، یک زمان‌سنج رقومی بر روی دوربین تجهیز شده است. در آزمایش‌های پژوهش حاضر، بعد از تنظیم زمان بین دستگاه داده‌بردار و زمان‌سنج دوربین، بارگذاری و عکس‌برداری با نزد کرشن ۱ میلی‌متر بر دقیقه انجام شده است.

۴.۲. نورپردازی

در پژوهش حاضر، برای ایجاد یک نورپردازی مناسب از ساده‌ترین ابزار (یک چراغ مطالعه) در پشت دوربین استفاده شده است. در ابتدا، دوربین بر روی سه پایه جای‌گذاری شد. این مجموعه باید تا حد امکان به دستگاه سه‌محوری و نمونه نزدیک باشد.^[۲۱]



شکل ۲. منحنی دانه‌بندی ماسه‌ی فیروزکوه.

جدول ۱. مشخصات ماسه‌ی فیروزکوه.

$2/64$	G_s
$88/0$	ضریب انحناء C_c
$87/0$	ضریب یکنواختی C_u
$83/0$	نسبت تخلخل پیشینه e_{max}
$52/0$	نسبت تخلخل کمینه e_{min}
$23/0$	بزرگترین قطری که 5° درصد ذرات خاک از آن ریزتر هستند ($D_{5.0}$). ^{۲۲}

۲. تصویربرداری از آزمایش‌های سه‌محوری

۱.۲. دستگاه سه‌محوری

دستگاه سه‌محوری، خصوصیات تغییرشکل و مقاومت برشی خاک را در حالت‌های مختلف زهکشی اندازه‌گیری می‌کند. نمونه استوانه‌ای شکل خاک در دستگاه سه‌محوری، ابتدا با فشار همه‌جانبه محفظه که معمولاً به واسطه‌ی سیالی چون آب به نمونه منتقل می‌شود، به شرایط تنش اولیه در محل نزدیک می‌شود. سپس نمونه با اهمیت بارگذاری قائم تحت فشار محوری واقع می‌شود. تنش فشاری، موجب شکل‌گیری تنش برشی و گسترش آن در درون نمونه می‌شود.^[۱۱] در دستگاه‌های مخصوص انجام آزمایش سه‌محوری، با توجه به ظرفیت بارگذاری دستگاه و نوع خاک ناچیه‌ی لغزش در نمونه (باند برشی) وجود دارد. نمونه سه‌محوری معمولاً درون یک غشاء لاستیکی قرار داده می‌شود تا بتوان تغییر رطوبت و زهکشی آن را با شیرهای دو انتهای نمونه کنترل کرد. اندازه‌گیری‌های مکانیکی متداول در دستگاه سه‌محوری، شامل ثبت تغییرات ارتفاعی نمونه و تغییرات حجم آن در صورت اشباع بدن نمونه است.^[۲۰] در شکل ۱، دستگاه سه‌محوری استفاده شده در مطالعه‌ی حاضر مشاهده می‌شود. مقدار تغییر ارتفاع نمونه توسط جابه‌جایی سنج قائم آنالوگ با دقت $1/0$ میلی‌متر و مقدار تغییر حجم آن توسط لوله‌ی مدرج حاوی حسگر اندازه‌گیری فشار سربار آب داخل لوله‌ی مدرج با دقت $1/0$ سی‌سی اندازه‌گیری می‌شود.

۲.۲. مصالح موردازمايش

خاک استفاده شده در آزمایش‌ها، ماسه‌ی استاندارد فیروزکوه S161 بوده است، که دانه‌بندی یکنواختی داشته و از نوع شکسته‌ی سیلیسی بوده است که به شکل صنعتی و توسط سنگ‌شکن در شمال کشور تولید می‌شود. ماسه‌ی S161، رنگ زرد طلایی دارد و آزمایش دانه‌بندی آن بر مبنای استاندارد ASTM D422 انجام



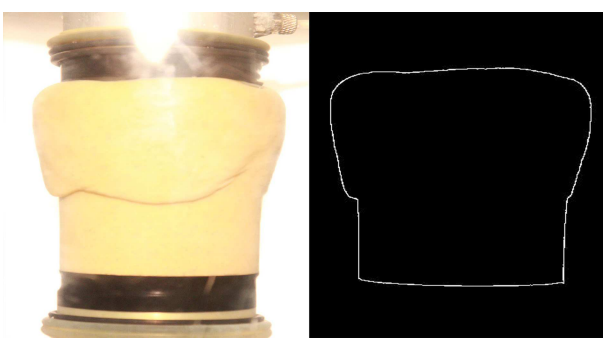
شکل ۱. دستگاه سه‌محوری و تجهیزات آن.

۱.۳. نرم افزارهای متلب و فتوشاپ

پردازش تصاویر با استفاده از امکانات پردازش تصویر در نرم افزار متلب صورت گرفته است. تبدیل تصاویر به نوع مقیاس خاکستری، اولین مرحله‌ی پردازش تصویر است. کد تهیه شده در نرم افزار متلب، تصویر خاکستری را به عنوان یک ماتریس دو بعدی ذخیره می‌کند، جایی که هر عنصر ماتریس مربوط به یک پیکسل تصویر است. عناصر موجود در ماتریس، سطوح مختلف خاکستری را نشان می‌دهند. کمینه و بیشینه‌ی سطوح روشنایی در تصاویر 0° و 255° است که به ترتیب سیاه و سفید را نشان می‌دهند. با استفاده از کدنویسی، تصاویر خاکستری به تصاویر با زوایر 2° تبدیل شدند. سپس برای افزایش دقت در انجام محاسبات، دستوری برای حذف اغتشاش‌ها در تصاویر در نظر گرفته شده است. پس از تبدیل تصویر رنگی به تصویر با زوایر، برای تشکیل لبه‌های اطراف نمونه، سطحی از روشنایی در تصویر تعریف و در ادامه، لبه‌ی اطراف نمونه، خشک با توجه به چگالی نسبی هدف محاسبه و تعیین شده است. برای اشباع نمونه، پس از نیم ساعت CO_2 از نمونه، به مدت نیم ساعت نیز آب هوایی شده از نمونه عبور داده شد. سپس فشار 10°C کیلوپاسکالی از طرف به نمونه اعمال شد تا ضریب فشار آب حفره‌ی اسکمپتون برابر با 95°C درصد یا بیشتر شود. نمونه‌های مذکور پس از ساخت و اشباع شدن، با فشار محدود کننده‌ی 100°C ، 200°C و 400°C کیلوپاسکال تحکیم یافتند و سپس تحت بار فشاری محوری با نزد کرنش 1°C متر بر دقیقه قرار گرفتند. برای جلوگیری از تغییرشکل‌های تاهمگن و غیرمتقارن، در دو سوی نمونه از المان‌های ضد اصطکاک استفاده شده است. بدین منظور در هر انتهای نمونه از دو غشاء سوراخ‌دار با سطح مقطع برابر با نمونه که بین آنها به گرسن آگشته بود، استفاده شده است. ارتفاع و قطر اسامی نمونه ساخته شده 100°C و 50°C میلی‌متر بوده است. قطر دقیق نمونه با استفاده از کولیس با دقت $1/\text{mm}$ میلی‌متر در 2°C رقوم ارتفاعی متفاوت در دو جهت و ارتفاع نمونه با استفاده از خطکش در 5°C قسمت مختلف اندازه گیری شده است. برای مشخص شدن قسمت فوقانی و انتهایی نمونه در عکس‌های گرفته شده توسط دوربین، همانند شکل ۳، از چسب‌های نواری مشکی رنگ استفاده شده است، که باید به صورت دقیق بین حد فاصل سنگ متخلخل و نمونه قرار گیرند.

۲. کالیبراسیون

برای تبدیل واحد پیکسل به میلی‌متر، در پژوهش حاضر از یک روش تکیبی استفاده شده است. تغییرات ارتفاع در زمان آماده‌سازی نمونه، شامل مراحل: اشباع‌سازی، تحکیم، و بارگذاری محوری توسط جایه‌جایی سنج‌های مکانیکی اندازه‌گیری و توسط داده‌بردار ثبت شده است. به همین دلیل برای افزایش دقت در محاسبات، تغییرات ارتفاع از ثبات دقیق مکانیکی قرائت و از پردازش تصویر فقط برای رصد تغییرات قطر استفاده شده است. این رویکرد تکیبی در ادامه باعث کاهش خطاهای شده است. زیرا از میان متغیرهای موردنیاز در تخمین حجم، یعنی ارتفاع و قطر، خطاهای پردازش تصویر فقط در محاسبه‌ی قطروارد محاسبات شده و برآورد ارتفاع با دقت بسیار بالاتری صورت گرفته است. این رویکرد، از جوهر تمايز چارچوب پيشنهادي نوشتار حاضر با سایر رویکردهای پردازش تصویر دو بعدی است که منجر به کاهش خطاهای برآورد حجم در حد رویکردهای سه بعدی شده است. همان‌طور که در قسمت‌های قبل اشاره شد، قطر نمونه‌ی موردنظر بعد از آماده‌سازی، توسط کولیس در 15°C الی 20°C رقوم ارتفاعی مختلف اندازه‌گیری شده است. از میان قطرهای اندازه‌گیری شده، یک قطر میانگین برای شرایط اولیه نمونه در نظر گرفته شد. بلاعده بعد از مشخص شدن قطر میانگین نمونه، دوربین و تجهیزات مرتبط در فاصله‌ی معین از دستگاه سه محوری و نمونه مستقر شدند. سپس از نمونه تحت شرایط اولیه عکس برداری و براساس الگوریتم لبه‌یابی پیشنهادی، لبه‌های اطراف نمونه توسط نرم افزار متلب مشخص شدند. بعد از تشخیص لبه‌های اطراف



شکل ۴. تشخیص لبه‌ی اطراف نمونه با استفاده از نرم افزار متلب.

۵. روند انجام آزمایش‌ها

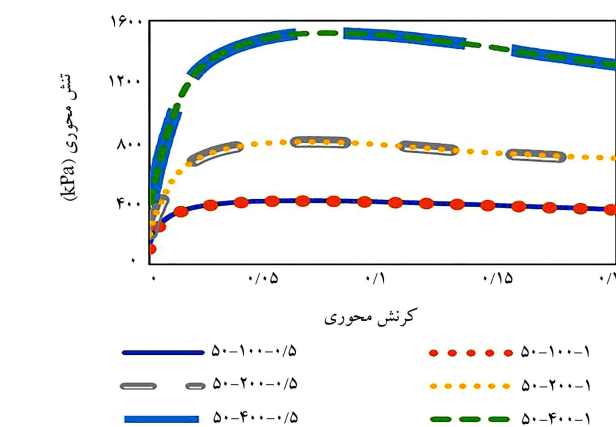
باشد تاکنیت عکس‌ها افزایش یابد. بعد از این مرحله، چراغ مطالعه طوری در پشت دوربین تنظیم شد که لبه‌های اطراف نمونه به خوبی توسط دوربین قابل رؤیت باشند.

شکل ۳. نوار چسب‌های مشکی رنگ در بالا و پایین نمونه.

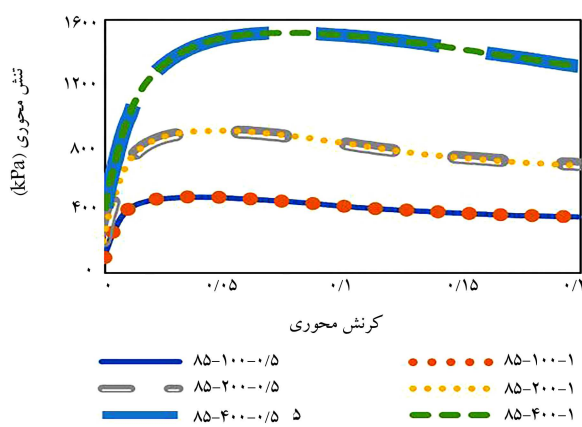
۳. پردازش تصاویر

پس از عکس‌برداری از آزمایش‌ها، با استفاده از نرم افزارهای فتوشاپ^{۱۸} و متلب^{۱۹}، مراحل ویرایش و تحلیل تصاویر صورت گرفته است. در پژوهش حاضر، با استفاده از الگوریتم لبه‌یابی سعی شده است تا تغییرات قطری نمونه در طول بارگذاری برآورد شود. این تغییرات برای برآورد صحیح از متحسنی تغییرات تنش - کرنش نمونه در طول بارگذاری ضروری‌اند. در ادامه، به معرفی نرم افزارهای استفاده شده و روند تحلیلی نوشتار حاضر اشاره شده است.





شکل ۵. مقایسه‌ی منحنی تنش - کرنش آزمایش سه‌محوری زهکشی شده بر روی نمونه‌ی اشباع با چگالی نسبی ۵۰٪ در فشارهای تحکیمی ۲۰۰ و ۱۰۰ کیلوپاسکال.



شکل ۶. مقایسه‌ی منحنی تنش - کرنش آزمایش سه‌محوری زهکشی شده بر روی نمونه‌ی اشباع با چگالی نسبی ۸۵٪ در فشارهای تحکیمی ۲۰۰، ۴۰۰ و ۱۰۰ کیلوپاسکال.

نسبی ۵۰ و ۸۵ درصد مشاهده می‌شوند. تغییرات حجمی اخیر، هم توسط رویکرد پردازش تصویر و هم مستقیماً توسط بورت مدرج (رویکرد متداول) اندازه‌گیری شده‌اند. چنانچه در تمامی نمودارها و از طریق هر دو رویکرد مشاهده می‌شود، هر چند رفتار حجمی تمامی نمونه‌ها در کرنش‌های کوچک ابتدایی اتساعی بوده است، لیکن پس از آن، رفتار حجمی به سمت انقباض پیش رفته و تا کرنش محوری ۲۰٪ نیز بر همین منوال باقی مانده است. مشاهده‌ی منحنی‌های ذکر شده در کنار منحنی‌های تنش - کرنش در شکل‌های ۵ و ۶، گویای رفتار نمونه‌های با چگالی نسبی بالا در ادبیات فنی رایج است.^[۲۱]

در هر دو شکل ۷ و ۸، در فشار تحکیمی ۲۰۰ کیلوپاسکال، از کرنش محوری ۱٪ به بعد، بین دو رویکرد پردازش تصویری و اندازه‌گیری مستقیم، تفاوت بارزی رخ داده است. در چگالی نسبی ۵۰٪، نمونه از کرنش ۱۰٪ به بعد در رویکرد پردازش تصویر شروع به اتساع کرده است، حال آنکه روال اندازه‌گیری مستقیم بر روال کاهش حجم ادامه یافته است. در چگالی نسبی ۸۵٪ نیز تفاوت رفتارها از کرنش ۱۰٪ آغاز و روال کاهش حجم با مقادیری متفاوت در دو رویکرد دنبال شده است. منشاء این تفاوت رفتاری، تغییرشکل‌هایی است که در پردازش تصویر به صورت دو بعدی رصد می‌شوند، لیکن جهت محاسبه‌ی تغییرشکل‌های سه بعدی

نمونه، تعداد پیکسل‌های قرارگرفته بین دو لبه محاسبه شد و یک قطر پیکسلی میانگین به دست آمد. بدین ترتیب قطر میانگین نمونه قبل از اشباع و تحکیم توسط کولیس و همچنین به صورت پیکسلی توسط نرم‌افزار متلب اندازه‌گیری شده است. از نسبت قطر میانگین میلی‌متری به قطر میانگین پیکسلی، یک ضریب تبدیل واحد پیکسل به میلی‌متر به دست آمده است؛ که در طول بارگذاری، تغییرات قطر پیکسلی که توسط نرم‌افزار محاسبه شده است، با استفاده از ضریب مذکور به میلی‌متر تبدیل شده است.

۴. راستی آزمایی روش پیشنهادی با مقایسه‌ی نتایج آزمایش‌ها

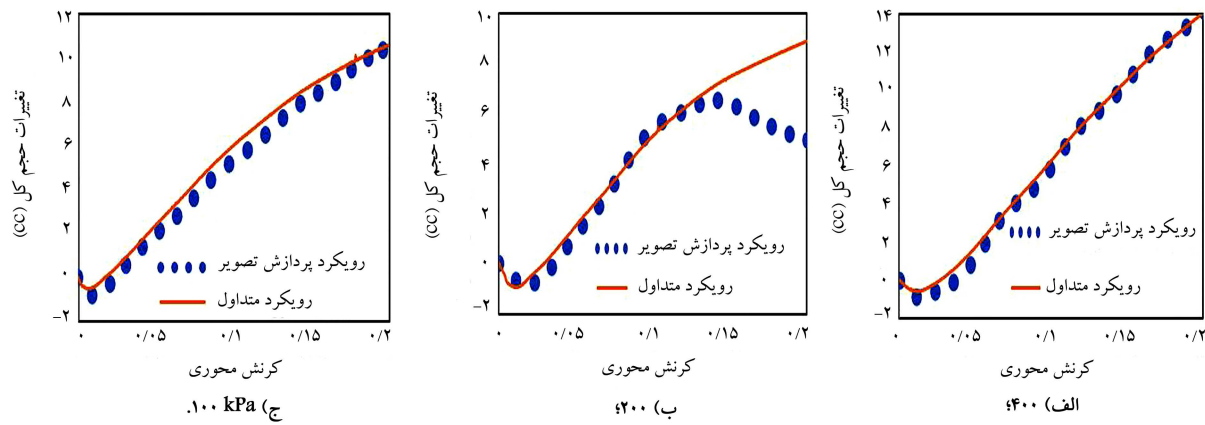
پس از انجام آزمایش‌های شیخ داده شده در بخش ۲ نوشتار حاضر، میزان تغییر قطر نمونه در حین بارگذاری به دو روش به دست آمده است: (۱) از طریق اندازه‌گیری تغییر قطر حجم با لوله‌ی مدرج و تغییر ارتفاع با جابه‌جایی سنج قائم و محاسبه‌ی تغییر قطر از تغییرات اخیر که در اینجا به آن رویکرد متداول اطلاق شده است؛ و (۲) به کمک پردازش تصویر، منحنی‌های تنش - کرنش با هر یک از دور رویکرد مذکور در ادامه مقایسه شده‌اند. همچنین تغییرات حجم حاصل از رویکرد پردازش تصویر با استفاده‌ی همزمان از تغییرات ارتفاعی اندازه‌گیری شده توسط جابه‌جایی سنج و تغییرات قطر از طریق پردازش تصویر محاسبه و با اندازه‌گیری مستقیم توسط بورت دستگاه سه‌محوری (رویکرد متداول) مقایسه شده است. درنهایت، مشتق منحنی تنش - کرنش که گویای تغییرات مدول تغییرشکل مماسی نمونه است، برای هر دو رویکرد متداول و پردازش تصویر ارائه شده است. همچنین پارامتر اخیر، در بیشتر مدل‌های رفتاری استفاده می‌شود.

۱.۴ مقایسه‌ی منحنی تنش - کرنش حاصل از رویکرد پردازش تصویر با رویکرد متداول

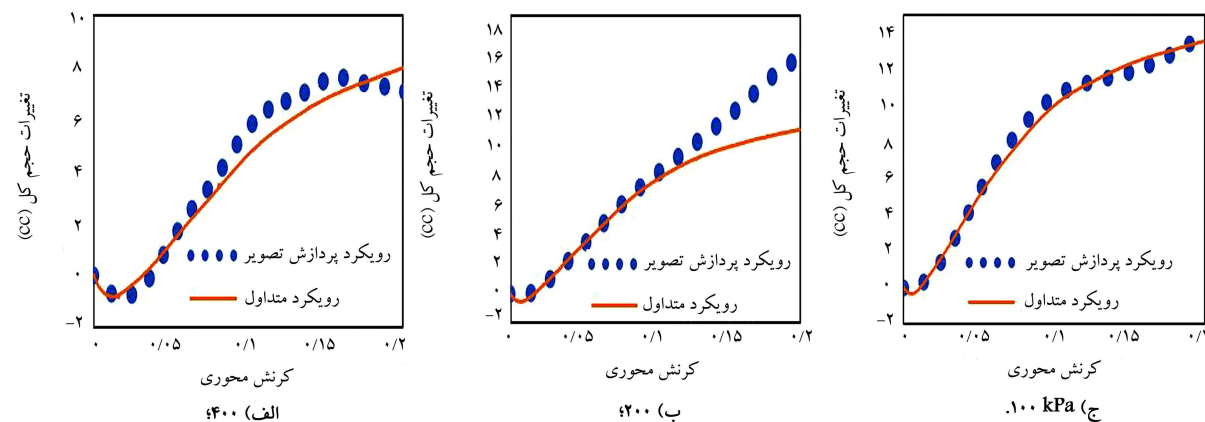
در شکل‌های ۵ و ۶، نمودارهای مربوط به مقایسه‌ی تغییرات منحنی تنش - کرنش با دو رویکرد پردازش تصویر و رویکرد متداول برای چگالی‌های نسبی به ترتیب ۵۰ و ۸۵ درصد مشاهده می‌شوند. چنانچه انتظار میرفت، با افزایش تنش تحکیمی، مقدار مقاومت برشی نمونه افزایش یافته است. همچنین از مقایسه‌ی دو شکل ۵ و ۶ مشخص است که در تنش تحکیمی پکسان نیز مقاومت برشی پیشینه‌ی خاک با چگالی نسبی ۸۵٪ بیش از مقدار مشابه آن در خاک با چگالی نسبی ۵۰٪ است. در شکل‌های ۵ و ۶، هر نمودار با سه عدد مشخص شده است. عدد اول از سمت چپ، معرف چگالی نسبی، عدد دوم مربوط به فشار تحکیمی و عدد سوم نیز رویکرد متداول (۰/۵) یا رویکرد پردازش تصویر ۱ را نمایش می‌دهد. به عنوان مثال، نمودار ۰/۵ - ۰ - ۱۰۰ مربوط به آزمایش با چگالی نسبی ۵٪، فشار تحکیمی ۱۰۰ کیلوپاسکال و مربوط به نتایج رویکرد متداول است. مطابق شکل‌های ۵ و ۶، در هر دو چگالی نسبی ۵٪ و ۸۵ درصد، رویکرد پردازش تصویر با خطایی قابل قبول در محدوده‌ی ۰/۴ درصد نسبت به رویکرد متداول قرار گرفته است. بدین ترتیب مشاهده می‌شود که رویکرد پردازش تصویر با دقت مناسب، امکان تفسیر خروجی آزمایش و بهتر آن، رسم منحنی تنش محوری - کرنش محوری در آزمایش سه‌محوری را فراهم ساخته است.

۲.۴ مقایسه‌ی تغییرات حجم برآورد شده از رویکرد پردازش تصویر با تغییرات حجم اندازه‌گیری شده (از رویکرد متداول)

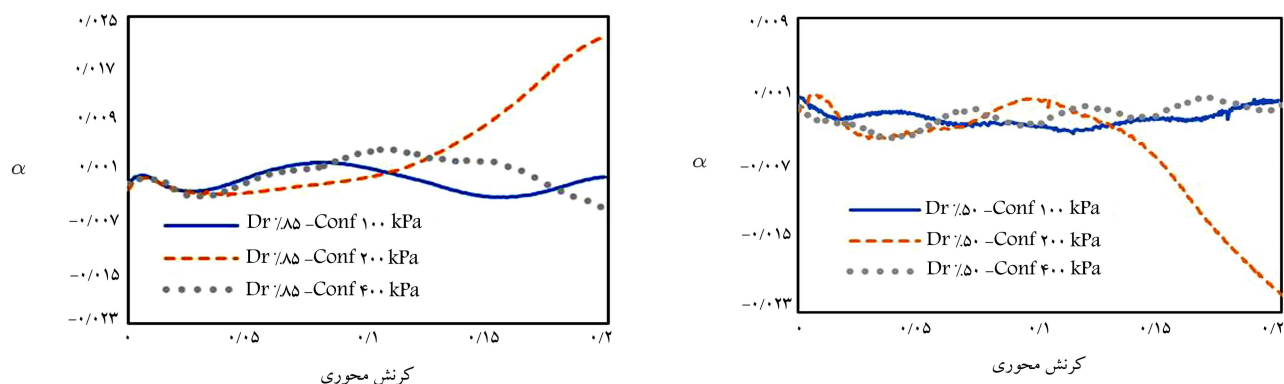
در شکل‌های ۷ و ۸، نمودارهای تغییرات حجم کل نمونه‌ی مورد آزمایش در چگالی‌های



شکل ۷. مقایسه‌ی منحنی حجم کل آزمایش سه‌محوری زهکشی شده بر روی نمونه‌ی اشباع با چگالی نسبی ۵۰٪ در فشار تحکیمی.



شکل ۸. مقایسه‌ی منحنی حجم کل آزمایش سه‌محوری زهکشی شده بر روی نمونه‌ی اشباع با چگالی نسبی ۸۵٪ در فشار تحکیمی.



شکل ۱۰. اختلاف تغییرات حجم کل رویکرد پردازش تصویر نسبت به رویکرد متداول با چگالی نسبی ۵۰٪ در فشارهای تحکیمی ۱۰۰، ۲۰۰ و ۴۰۰ کیلوپاسکال.

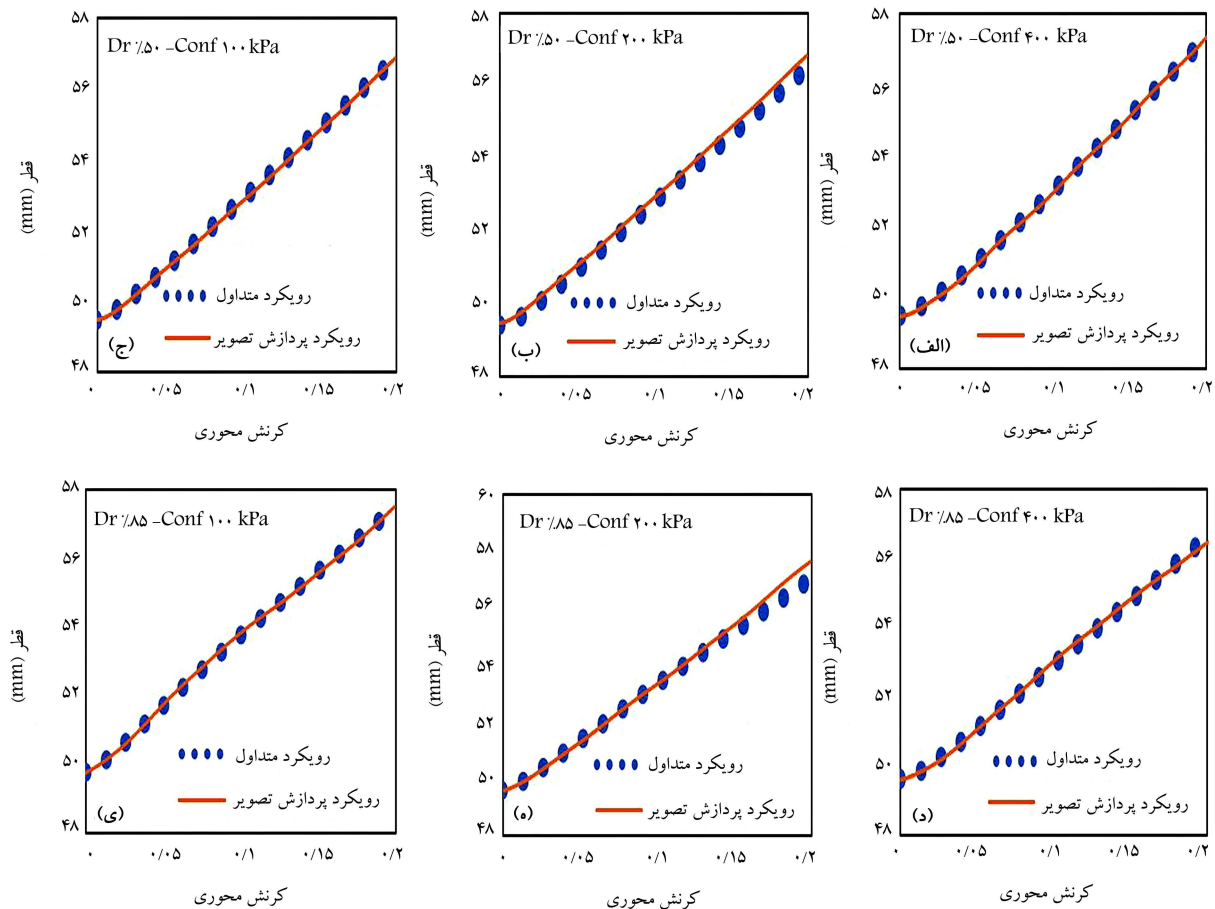
محاسبات مبتنی بر دو رویکرد متفاوت، پارامتر آلفا مطابق با رابطه ۱ تعریف شده است.

$$\alpha = (V_s - V_m) / (V_m) \quad (1)$$

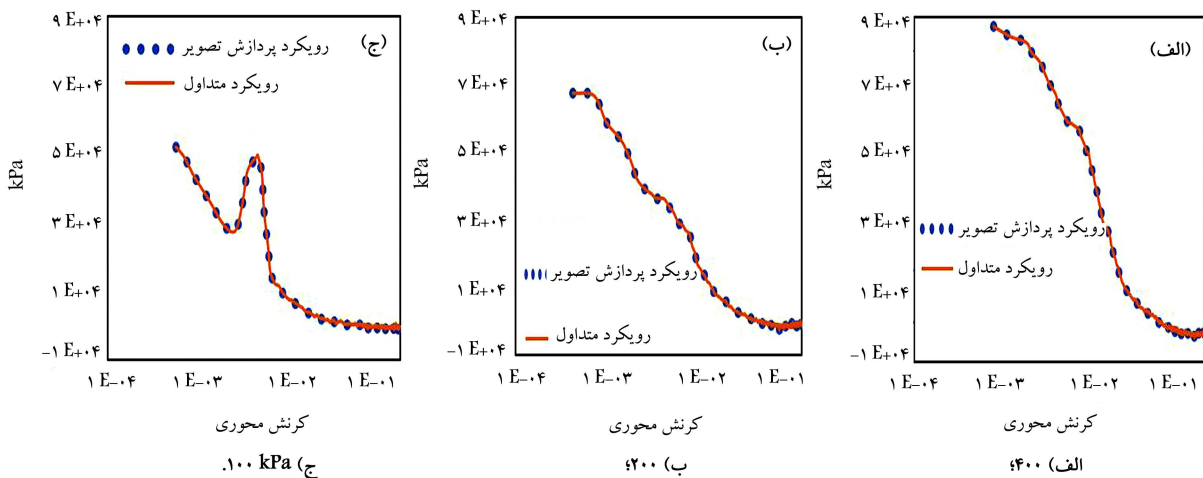
که در آن، V_s حجم کل رویکرد پردازش تصویر، V_m حجم کل رویکرد متداول هستند. در شکل‌های ۹ و ۱۰، تغییرات پارامتر آلفا با کرنش محوری برای فشارهای تحکیمی و چگالی‌های نسبی مختلف مشاهده می‌شود که مطابق آن‌ها، تا کرنش ۱۰٪

استفاده می‌شوند. در این میان تغییر قطر بدست آمده از حجم آب خروجی به بورت دستگاه، به دلیل اشباع بودن حاک، برآورد دقیق‌تری از تغییر حجم کل را بدست می‌دهد (شکل ۴). هر چند تفاوت محاسبه‌ی قطر مذکور در مقدار تنش محوری نیز تأثیرگذار است؛ لیکن این تفاوت، اثر چندانی در منحنی‌های تنش -

کرنش نمایش داده شده در شکل‌های ۵ و ۶ نگذاشته است. لازم به ذکر است تفاوت مشاهده شده در دو رویکرد ذکر شده برای فشارهای محصورکننده ۱۰۰ و ۴۰۰ کیلوپاسکال بسیار خفیف‌تر ظاهر شده است. جهت بررسی میزان خطای



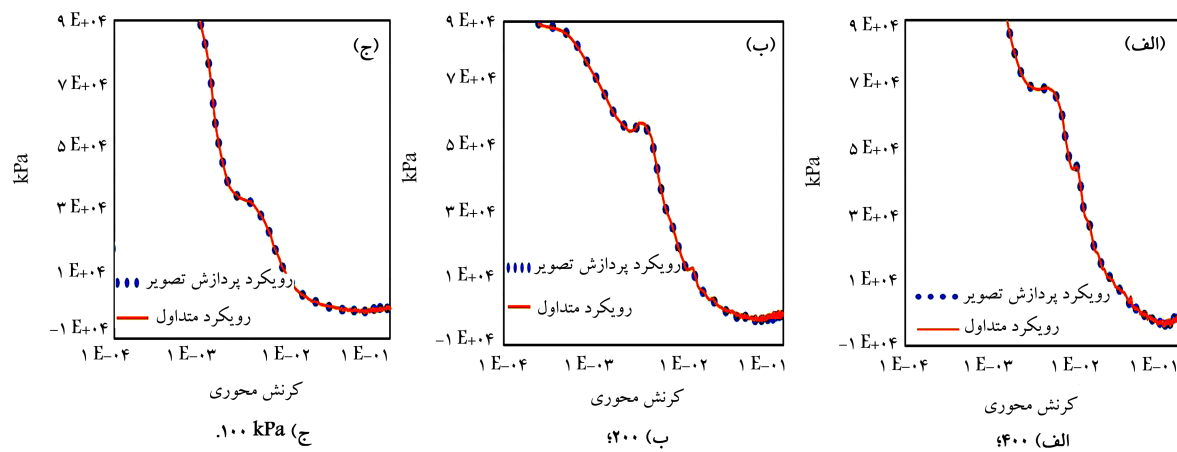
شکل ۱۱. مقایسه‌ی منحنی تغییرات قطر میانگین رویکرد پردازش تصویر نسبت به رویکرد متداول.



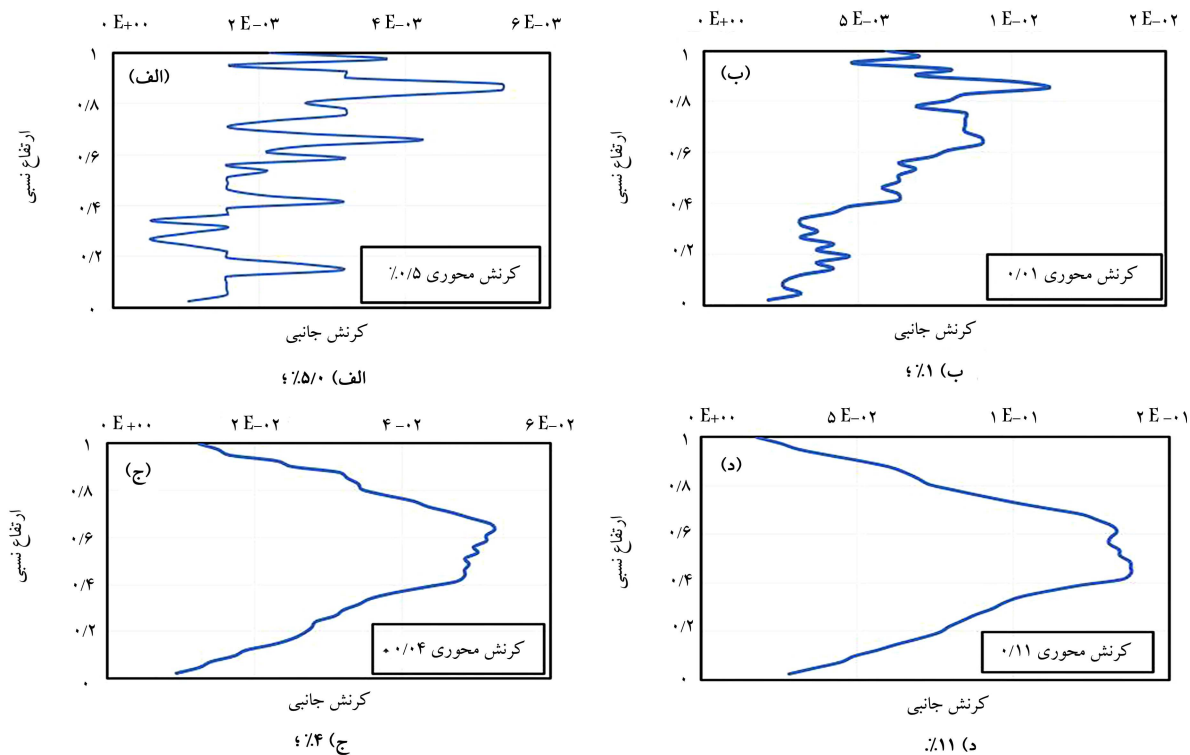
شکل ۱۲. مقایسه‌ی منحنی تنش - کرنش آزمایش زهکشی شده بر روی نمونه‌ی اشباع با چگالی نسبی ۵۰٪ در فشارهای تحکیمی.

دیگر بوده است. لازم به ذکر است خطای $2/0$ تا $0/3$ درصد رویکرد پردازش تصویر دو بعدی نسبت به رویکرد متداول که در پژوهش حاضر به دست آمده است، در حد خطای رویکردهای پردازش تصویر سه بعدی است، که پیشتر در ادبیات فنی به آن اشاره شده است.^[۱۰] دستیابی به این سطح از دقت به عنوان یکی از دستاوردهای پژوهش حاضر محسوب می شود که متأثر از روش ترکیبی استفاده شده است.

در تمامی آزمایش‌ها، میزان خطای رویکرد پردازش تصویر نسبت به رویکرد متداول، $0/5$ تا $0/3$ درصد بوده و در آزمایش‌های با فشار تحکیمی 200 کیلوپاسکال، در کرنش‌های بالاتر از 10% ، این میزان اختلاف به مقدار 2% نیز افزایش پیدا کرده است؛ که دلیل آن، تشدید تغییرشکل‌های غیرمتقارن در کرنش‌های بالاست، که تقریب تصویربرداری دو بعدی را افزایش می دهد. در پژوهش حاضر، تغییرشکل‌های غیرمتقارن در نمونه‌های دارای فشار همه جانبه‌ی 200 کیلوپاسکال بیشتر از حالت‌های



شکل ۱۳. مقایسه‌ی منحنی تنش - کرنش آزمایش زهکشی شده بر روی نمونه‌ی اشباع با چگالی نسبی ۸۵٪ در فشارهای تحکیمی.



شکل ۱۴. تغییرات کرنش جانبی با ارتفاع نسبی نمونه‌ی سه‌محوری در کرنش محوری.

استفاده شده در تخمین قطر کمتر از خطای تخمین تغییرات حجم بوده است. دلیل این امر متوسطگیری در ارتفاع نمونه جهت تخمین قطر بوده است که موجب شده است خطاهای کاوش یابند.

۴.۴. مقایسه‌ی مشتق منحنی تنش - کرنش حاصل از رویکرد پردازش تصویر با رویکرد متداول
شیب تغییرات منحنی تنش - کرنش، که بیانگر تغییرات مدول مماسی ۲۱ نمونه‌ی آزمایشی با کرنش محوری است، برای چگالی‌های نسبی ۵۰ و ۸۵ درصد در شکل‌های ۱۲ و ۱۳ مشاهده می‌شود که مطابق آن‌ها، در هر دو چگالی نسبی ۵۰ و ۸۵ درصد، در محاسبه‌ی مدول تغییرشکل نیز رویکرد پردازش تصویر دو بعدی

۳.۴. مقایسه‌ی تغییرات قطر میانگین در دو رویکرد متداول و پردازش تصویر

در شکل ۱۱ (الف تا ی)، مقایسه‌ی تغییرات قطر اندازه‌گیری شده توسط رویکرد پردازش تصویر با رویکرد متداول برای فشارهای تحکیمی و چگالی‌های نسبی ۵۰ و ۸۵ درصد مشاهده می‌شود. در مجموع ۶ آزمایش زهکشی شده‌ی اشباع تا کرنش ۱٪، میزان خطای رویکرد پردازش تصویر نسبت به رویکرد متداول در محدوده‌ی ۰/۰۰۲ تا ۰/۰۰۴ بوده است. از کرنش ۱۰ تا ۲۰ درصد در بینتر آزمایش‌ها، خطای رویکرد پردازش تصویر نسبت به رویکرد متداول تا محدوده‌ی ۰/۰۰۵ نیز رسیده است. در تحکیم ۲۰۰ کیلوپاسکال، چنانچه در بررسی منحنی‌های تغییر حجم اشاره شد، از کرنش ۱۰ تا ۲۰ درصد، این میزان تغییرات به مقدار ۱ رویکرد

ساده و دقیق جهت برآورده منحنی تنش - کرنش نمونه‌های خاک تحت شرایط بکره دست آورده است.

- روش ارائه شده در پژوهش حاضر، که بر مبنای پردازش تصاویر دو بعدی بوده است، با آزمایش‌های اشباع راستی آزمایش شده است.

در غالب موارد، میزان خطای در تعیین تغییرات حجم و قطر نمونه و نیز تخمین منحنی تنش - کرنش قابل قبول بوده است.

- خطای محاسبه شده در اندازه‌گیری منحنی تنش - کرنش نمونه بین رویکرد پردازش تصویر و رویکرد متداول تا کرنش 10% در بیشتر آزمایش‌های مطالعه‌ی حاضر، حدود 0.01 mm بوده است. از کرنش $1/20$ تا $1/50$ خطای در برخی از آزمایش‌ها افزایش پیدا کرده و تا بیشینه‌ی $1/5$ نیز رسیده است.

در کل، خطای اندازه‌گیری شده با استفاده از روش دو بعدی ارائه شده در پژوهش حاضر در محدوده خطاهای اندازه‌گیری شده با استفاده از روش‌های پردازش تصویر سه بعدی بوده است که این یافته از دستاوردهای اصلی پژوهش حاضر است.

تمایز مهم دیگر روش پیشنهادی با رویکردهای پیشین در پردازش تصویر، سهولت واسنجی آن با اندازه‌گیری ابعاد نمونه پیش از آغاز آزمایش است. بدین ترتیب مراحل پیچیده‌ی تهیه و تعییه صفحات واسنجی از ذرایند آزمایش حذف شده است.

- ایجاد توانمندی بررسی رفتار دقیق تر نمونه در مقیاس درون المانی از دیگر دستاوردهای پژوهش حاضر بوده است.

دستاوردهای استفاده از ارتفاع ثبت شده توسط LVDT، در مراحل بارگذاری، به جای محاسبه‌ی آن از پردازش تصویر است. این امر موجب می‌شود خطاهای محاسباتی پردازش تصویر فقط به محاسبه‌ی قطر منحصر شود و ارتفاع با خطای کمتری برآورد شود.

- در محاسبه‌ی حجم اولیه، به جای محاسبه از پردازش تصویر، مقدار به دست آمده از اندازه‌گیری با ابزارهای دقیق، قبل از آزمایش مبنا قرار گرفته است، که این امر نقطه‌ی شروع نمودارها را بر هم منطبق کرده است.

در ذرایند واسنجی از اندازه‌گیری‌های قبل از آزمایش که با روابط آین نامه‌ی ASTM-D7181، تصحیحات مربوط به فرایندهای اشباع و تحکیم روی آن‌ها انجام شده است، استفاده شده است و باعث شده است روشی که در این امر مربوط به تعیین مقیاس هر پیکسل بر حسب میلی‌متر است، با دقت مناسبی به دست آید، بدون اینکه نیازی به فرایندهای پیچیده‌ی واسنجی باشد.

- دستاوردهای مطالعه‌ی حاضر، که به آن‌ها اشاره شده است، ورود رویکرد پردازش تصویر به آزمایشگاه‌های مهندسی ژئوتکنیک در پروژه‌های صنعتی را تسهیل می‌سازد.

با خطای قابل قبول نسبت به رویکرد متداول قابل انتکاست. روند تغییرات مدول تغییرشکل با تغییر کرنش، مطابق با ادبیات فنی مرتبط است.^[۲۲]

۵.۴. امکان بررسی رفتار نمونه در مقیاس درون المانی

یکی از مزایای پردازش تصویر در آزمایش‌های سه‌محوری مطالعه‌ی حاضر، امکان بررسی رفتار نمونه در مقیاس کوچک‌تر از مقیاس کلی نمونه است. در تفسیر نتایج آزمایش بر روی المانی از خاک،فرض بر یکنواختی توزیع تنش و کرنش در نمونه است؛ حال آنکه در واقع چنین نیست. در آزمایش‌های مطالعه‌ی حاضر نیز با وجود اینکه در هر دو سوی نمونه از المان ضداصطکاک استفاده شده است تا نمونه در دو انتهای، حتی الامکان با فک‌های دستگاه سه‌محوری دچار اصطکاک و تحمل تنش برشی ناشی از آن نشود، باز هم از تصاویر پردازش شده پیداست که توزیع کرنش در نمونه به صورت ایده‌آل یکنواخت نشده است.

به عنوان نمونه، در شکل ۱۴، توزیع کرنش جانبی (در امتداد قطر نمونه سه‌محوری و عمود بر محور طولی نمونه استوانه‌ی شکل) در ارتفاع نمونه، برای $4/85\%$ سطوح کرنش محوری در حین آزمایش زهکشی شده اشباع با چگالی نسبی $100\text{ کیلوپاسکال مشاهده می‌شود}.$ کرنش‌های جانبی اخیر براساس تغییر قطر به قدر اولیه در همان تاز مطالعه شده‌اند. مطابق شکل ۱۴، در کرنش‌های ابتدایی تا حدودی توزیع کرنش در سرتاسر نمونه یکنواخت است، لیکن از کرنش محوری 1% به بعد،وضوح در دو انتهای نمونه و نفاوت رفتار با قسمت میانی نمونه مشاهده می‌شود. گویی بخشی از نمونه، در گیر فک‌های دو انتهای دستگاه است و قسمتی از طول میانی نمونه، آزادانه تغییرشکل می‌دهد؛ به نحوی که در کرنش‌های محوری 4 و 11 درصد، نسبت کرنش جانبی در میانه ارتفاع نمونه به ترتیب 5 و 7 برابر کرنش جانبی در دو انتهای نمونه است. اینکه چه بخشی از رفتار ذکر شده به واسطه‌ی گیرداری دو انتهای و چه بخشی به دلیل تغییرشکل‌های زیاد نمونه است، خود محل تأمل است؛ لیکن در هر حال تشخیص طول مؤثر نمونه می‌تواند به تفسیر متفاوتی از نتایج منجر شود.^[۲۳] لازم به ذکر است که نوشتار حاضر در پی تفسیر رفتار نیست و تفسیر مذکور خود مطالعه‌ی جداگانه‌ی می‌طلبید؛ هدف از بخش کنونی از نوشتار حاضر، معرفی امکانی است که به واسطه‌ی رویکرد پردازش تصویر پیشنهادی در رصد کرنش‌های موضعی نمونه به دست می‌آید.

۵. نتیجه‌گیری

• مطالعه‌ی حاضر بر آن بوده است که در آزمایش سه‌محوری، با استفاده از روش لبه‌یابی در پردازش تصویر، برآورد دقیقی از میزان تغییرات حجم و قطر نمونه ارائه دهد. بدین منظور با ارائه یک روش بر مبنای پردازش تصویر دو بعدی، بستری

پانوشت‌ها

1. Lenoir
2. Otani
3. Higo
4. Karami

5. Cheng
6. Zhang
7. Rechenmacher
8. Wang
9. Li
10. Fayek
11. Macary
12. Bagherieh
13. Koseki
14. Sachan
15. Dong
16. LVDT
17. universal serial bus
18. Photoshop
19. Matlab
20. Binary
21. tangent modulus

منابع (References)

1. Maleki, M., Bayat, M. and Mirzaie, A. "Effect of matric suction on the mechanical behavior of sandy soil mixed with silt and clay at low confinement pressures", *Modares Civil Engineering Journal*, **12**(3), pp. 77-89 (In Persian) (2011).
2. Fredlund, D.G. "Unsaturated soil mechanics in engineering practice", *Journal of Geotechnical and Geoenvironmental Engineering*, **132**(3), pp. 286-321 (2006).
3. Johari, A., Javadi, A.A. and Habibagahi, G. "Modelling the mechanical behaviour of unsaturated soils using a genetic algorithm-based neural network", *Computers and Geotechnics*, **38**(1), pp. 2-13 (2011).
4. Javadi, A.A., Ahangar-Asr, A., Johari, A. and et al. "Modelling stress-strain and volume change behaviour of unsaturated soils using an evolutionary based data mining technique, an incremental approach", *Engineering Applications of Artificial Intelligence*, **25**(5), pp. 926-933 (2012).
5. Lenoir, N., Bornert, M., Desrues, J. "Volumetric digital image correlation applied to X-ray microtomography images from triaxial compression tests on argillaceous rock", *Strain*, **43**(3), pp. 193-205 (2007).
6. Otani, J., Mukunoki, T. and Sugawara, K. "Evaluation of particle crushing in soils using X-ray CT data", *Soils and Foundations*, **45**(1), pp. 99-108 (2005).
7. Yosuke, H., Oka, F., Sato, T., Matsushima, Y. and et al. "Investigation of localized deformation in partially saturated sand under triaxial compression using micro-focus X-ray CT with digital image correlation", *Soils and Foundations*, **53**(2), pp. 181-198 (2013).
8. Alikarami, R. and et al. "Strain localisation and grain breakage in sand under shearing at high mean stress: Insights from in situ X-ray tomography", *Acta Geotechnica*, **10**(1), pp. 15-30 (2015).
9. Cheng, Zh. and et al. "A miniature triaxial apparatus for investigating the micromechanics of granular soils with in situ X-ray micro-tomography scanning", *Frontiers of Structural and Civil Engineering*, **14**(2), pp. 357-373 (2020).
10. Zhang, X., Li, L., Chen, G. and et al. "Photogrammetry-based method to measure volume changes of Unsaturated soil specimens during triaxial testing", *Acta Geotechnica*, **10**(1), pp. 55-82 (2015).
11. Rechenmacher, A.L. "Grain-scale processes governing shear band initiation and evolution in sands", *Journal of the Mechanics and Physics of Solids*, **54**(1), pp. 22-45 (2006).
12. Wang, P., Guo, X., Sang, Y. and et al. "Measurement of local and volumetric deformation in geotechnical triaxial testing using 3D-digital image correlation and a subpixel edge detection algorithm", *Acta Geotechnica*, **15**, pp. 2891-2904 (2020).
13. Li, L., Li, P., Cai, Y. and et al. "Visualization of non-uniform soil deformation during triaxial testing", *Acta Geotechnica*, **16**(11), pp. 3439-3454 (2021).
14. Fayek, S., Xia, X., Li, L. and et al. "Photogrammetry-based method to determine the absolute volume of soil specimen during triaxial testing", *Transportation Research Record*, **2674**(8), pp. 206-218 (2020).
15. Macari, E.J., Parker, J.K. and Costes, N.C. "Measurement of volume changes in triaxial tests using digital imaging techniques", *Geotech Test J*, **20**(1), pp. 103-109 (1997).
16. Bagherieh, A.R., Habibagahi, G. and Ghahramani, A. "A Novel approach to measure the volume change of triaxial soil samples based on image processing", *Journal of Applied Sciences*, **8**(13), pp. 2387-2395 (2008,a).
17. Koseki, J., Hoshino, R., Miyashita, Y. and et al. "Direct and indirect observations of local deformation properties of saturated sand specimens in undrained cyclic triaxial tests", *Japanese Geotechnical Society Special Publication*, **4**(3), pp.36-39 (2016).
18. Sachan, A. and Penumadu, D. "Strain localization in solid cylindrical clay specimens using digital image analysis (DIA) technique", *Soils and Foundations*, **47**(1), pp. 67-78 (2007).
19. Dong, J. and Shao, L. "Experimental study on deformation properties of unsaturated compacted soil based on digital image measurement", *Engineering Review*, **34**(3), pp. 217-222 (2014).
20. ASTM Committee D-18 on Soil and Rock, "Standard test method for consolidated drained triaxial compression test for soils", ASTM International (2015).
21. Briaud, J.L. "Geotechnical engineering: Unsaturated and saturated soils", John Wiley & Sons (2013).
22. Kramer, S.L. "Geotechnical earthquake engineering", Pearson Education India (1996).
23. Wang, P., Guo, X., Sang, Y. and et al. "Measurement of local and volumetric deformation in geotechnical triaxial testing using 3D-digital image correlation and a subpixel edge detection algorithm", *Acta Geotechnica*, **15**(10), pp. 2891-2904 (2020).
24. Higo, Y., Oka, F., Kimoto, S. and et al. "Study of strain localization and microstructural changes in partially saturated sand during triaxial tests using microfocus X-ray CT", *Soils and Foundations*, **51**(1), pp. 95-111 (2011).

پیوست

مراحل گام به گام انجام مقدمات تصویربرداری، فرایند پردازش تصویر و تهیه‌ی منحنی تنش - کرنش:

۱. آماده‌سازی نمونه‌ی موردنظر و الاصاق نوار چسب مشکی رنگ در قسمت‌های فوقانی و تحتانی نمونه، حد فاصل سنگ متخلخل و نمونه‌ی خاکی، برای تشخیص بهتر نمونه در پردازش تصویر.

۲. نورپردازی نمونه که می‌تواند توسط یک چراغ مطالعه در مقابل دستگاه سه‌محوری انجام پذیرد.

۳. قرارگیری دوربین بر روی سه پایه و تنظیم فاصله‌ی آن تا نمونه‌ی موردنظر به منظور رؤیت پذیر کردن مناسب لبه‌های اطراف نمونه در تصاویر.

۴. نصب یک زمان‌سنج دیجیتالی بر روی دوربین و تنظیم زمان عکس‌برداری در فواصل زمانی ۱۵ ثانیه، در طول بارگذاری صورت خودکار.

۵. ویرایش عکس‌ها با استفاده از نرم‌افزار فتوشاپ از لحاظ شدت روشنایی جهت افزایش وضوح لبه‌های اطراف نمونه در پایان هر آزمایش.

۶. تشخیص نمونه‌ی حد واسط دو چسب مشکی رنگ با استفاده از جعبه‌ی ابزار پیشرفتی فتوشاپ و رنگ‌آمیزی آن به رنگ آبی.

۷. انتقال عکس‌های رنگ‌آمیزی شده به نرم‌افزار متلب و استخراج بخش آبی رنگ و لبه‌یابی آن از طریق کدنویسی و استفاده از روش لبه‌یابی canny.

۸. حذف نویزهای داخل عکس با استفاده از دستور medfilt. نویزهای مذکور

شامل حباب‌های آب یا خط و خشن‌های ایجادشده بر روی محفظه‌ی شیشه‌ی می‌شوند.

۹. تعیین یک آستانه‌ی شدت روشنایی و تبدیل عکس خاکستری به یک عکس باینری (لبه‌های اطراف نمونه‌ی سفیدرنگ و بقیه‌ی قسمت‌ها به رنگ سیاه تبدیل شدن).

۱۰. در هر رقوم ارتفاعی نمونه، تعداد پیکسل‌های قرارگرفته بین دو پیکسل سفیدرنگ که لبه‌های اطراف نمونه هستند، محاسبه می‌شود و قطر پیکسلی در رقوم مرتبط را تشکیل می‌دهد. از میانگین‌گیری قطرهای محاسبه‌شده در ارتفاع، قطر پیکسلی میانگین به دست می‌آید.

۱۱. مقیاس و معیار تبدیل واحد پیکسل به میلی‌متر، عکس اول است. زیرا ابعاد نمونه پیش از بارگذاری مشخص است و به تبع آن، قطر میانگین نیز بر حسب میلی‌متر، در ابتدای آزمایش در دست خواهد بود. با برابر قراردادن قطر میانگین میلی‌متری با قطر پیکسلی به دست آمده از بند ۱۰، مقیاس پیکسل به میلی‌متر تعیین می‌شود.

۱۲. پس از مشخص شدن ضریب تبدیل پیکسل به میلی‌متر در عکس اول، قطرهای معادل عکس‌ها و گام بعدی محاسبه می‌شوند.

۱۳. ارتفاع نمونه در هر گام از حس‌گر آنالوگ دستگاه قراحت می‌شود.

۱۴. قطر معادل حاصل از بند ۱۲ در محاسبه‌ی تنش و تغییرات ارتفاع نمونه جهت محاسبه‌ی کرنش استفاده می‌شود. بدین ترتیب نمودار تنش - کرنش قابل استخراج است.